



Projet - Course d'avions

Compte rendu projet SOD321

Elaboré par :

Mehdi Ghrabli

Mohamed Issa

Encadré par :

Mme. Sourour Elloumi

M. Mathieu Verchère

3^{ème} Année Techniques avancées

Année universitaire : 2021/2022

Table des matières

1	Les formulations du problème	4
1.1	Formulation polynomiale	4
1.2	Formulation exponentielle	6
2	Cas tests	10
2.0.1	Instance n=6	10
2.0.2	Instance n=20	12
2.0.3	Instance n=40	13
2.0.4	Instance n=70	14

Table des figures

1	Exemple de répartition	3
1.1	Trajectoire optimale sans élimination des sous-tours	5
1.2	Trajectoire optimale sans la contrainte des visites	6
2.1	Cas test avec n=6.	10
2.2	Résolution avec la formulation polynomiale	11
2.3	Résolution avec la formulation exponentielle.	11
2.4	Résolution avec la formulation exponentielle sans séparation.	11
2.5	Cas test avec n=20.	12
2.6	Résolution avec la formulation polynomiale	12
2.7	Cas test avec n=40.	13
2.8	Résolution avec la formulation polynomiale	13
2.9	Résolution avec la formulation exponentielle.	13
2.10	Cas test avec n=70.	14
2.11	Résolution avec la formulation polynomiale	14

Introduction

Etant donné un nombre n d'aérodromes appartenant chacune à une région parmi N_r , on se propose de calculer la distance minimale qu'on peut parcourir tout en visitant toutes les régions avec un nombre minimal d'aérodromes à visiter.

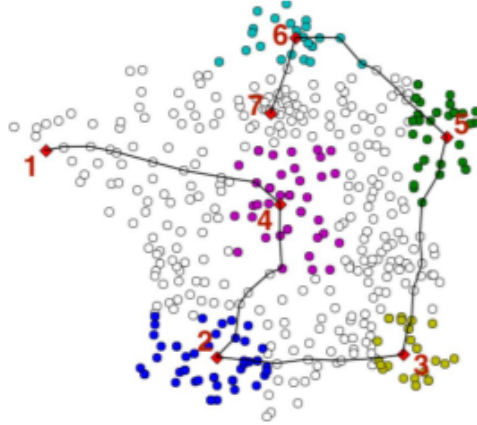


FIGURE 1 – Exemple de répartition

On s'inspire dans notre travail du modèle de voyageur de commerce sur un graphe orienté pour proposer deux formulations : Une première avec un nombre polynomial de contraintes et une deuxième avec un nombre exponentiel.

Chapitre 1

Les formulations du problème

1.1 Formulation polynomiale

Pour la formulation avec un nombre polynomiale de contraintes, on utilise la modélisation suivante :

$$(P_{\text{sous-tours}}) : \begin{cases} \min \sum_{(i,j) \in \mathcal{V}} d_{ij} x_{ij} \\ \sum_{i=1}^n y_i \geq A_{\min} \\ R \geq d_{ij} x_{ij} & \forall i, j \in \llbracket 1, n \rrbracket \\ u_j \geq u_i + 1 - n(1 - x_{ij}) & \forall i, j \in \llbracket 1, n \rrbracket \\ \sum_{k \in \mathcal{R}_j} y_k \geq 1 & \forall j \in \llbracket 1, Nr \rrbracket \\ \sum_{i=1}^n x_{ij} = y_j & \forall j \in \mathcal{V} \setminus \{d\} \\ \sum_{j=1}^n x_{ij} = y_i & \forall i \in \mathcal{V} \setminus \{f\} \\ \sum_{j=1}^n x_{fj} = 0 \\ \sum_{j=1}^n x_{jd} = 0 \\ x_{ii} = 0 & \forall i \in \llbracket 1, n \rrbracket \\ y_d = 1 \\ u_d = 0 \\ x_{ij} \in \{0, 1\}, y_i \in \{0, 1\} & \forall i, j \in \mathcal{V} \end{cases}$$

Les variables du problème

- \mathcal{V} représente l'ensemble d'aérodromes.
- le noeud de départ $d \in \mathcal{V}$
- le noeud d'arrivée $f \in \mathcal{V}$
- A_{\min} le nombre minimal d'aérodromes à visiter.
- la matrice symétrique d calcule tout les distance entre deux aérodrome : d_{ij} est la distance entre l'aérodrome i et l'aérodrome j calculée à partir des données d'entrée.
- R la distance maximale qu'un avion peut parcourir sans se poser.
- N_r le nombre de régions à visiter (on ne compte pas la région indexée par 0)
- $\mathcal{R} = \mathcal{R}_1 \cup \dots \cup \mathcal{R}_{N_r} \subset \mathcal{V}$ l'ensemble des régions.

Les variables du modèle

- Les x_{ij} sont des variables binaires qui prennent la valeur 1 si on se fait le trajet $i \rightarrow j$ durant le parcours optimal, 0 sinon.
- y un vecteur binaire où $y_i := 1$ ssi on visite l'aérodrome.
- Les u_i représentant le nombre de sommets visités depuis le sommet d .

Modélisation des contraintes

Nous rappelons que les contraintes à respecter sont :

- Visiter au moins A_{min} aérodromes.
- L'avion ne peut parcourir qu'une distance maximale de R avant de se poser.
- Visiter toutes les régions.

Ces contraintes sont modélisées par les inégalités $\sum_{i=1}^n y_i \geq A_{min}$, $R \geq d_{ij}x_{ij}$ et $\sum_{k \in \mathcal{R}_j} y_k \geq 1$ respectivement. En plus de ça, on va imposer des contraintes supplémentaires pour avoir une solution réalisable physiquement :

- *Elimination des sous tours* représentée par les contraintes : $u_j \geq u_i + 1 - n(1 - x_{ij})$. Ceci nous évite le cas d'avoir multiples trajectoire non-connexes du type :

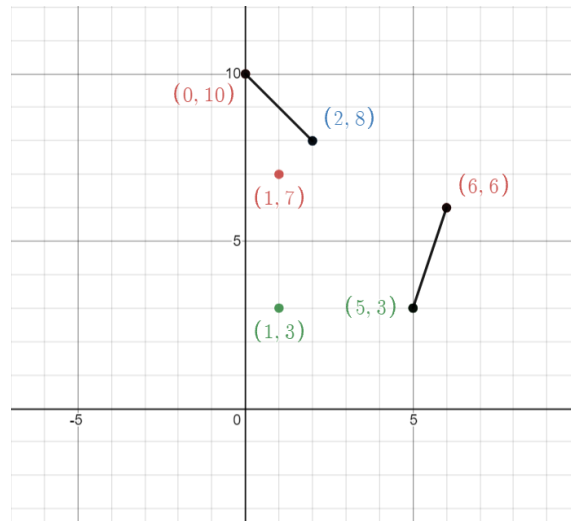


FIGURE 1.1 – Trajectoire optimale sans élimination des sous-tours

- Contraintes $\sum_{i=1}^n x_{ij} = y_j$ et $\sum_{i=1}^n x_{ij} = y_j$ pour marquer les visites des points, sinon, et si on ignore par exemple la première contrainte ($\sum_{i=1}^n x_{ij} = y_j$) on observe le graphe suivant

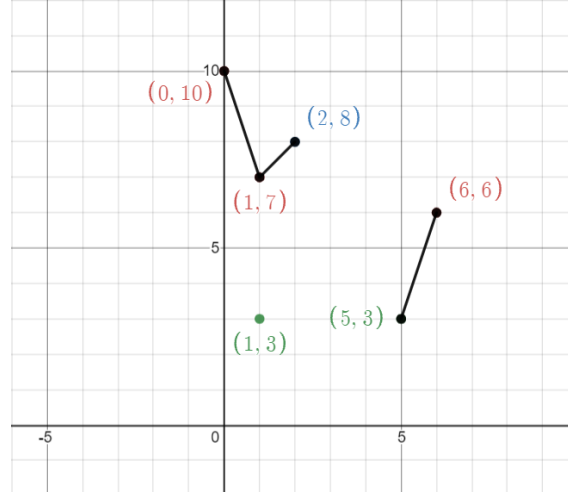


FIGURE 1.2 – Trajectoire optimale sans la contrainte des visites

On pourrait penser qu'on peut éviter ce comportement en éliminant les sous-tours, cependant, et dans ce cas, seulement l'arc $(5, 3) \rightarrow (6, 6)$ prend la valeur 1 (l'arc $(6, 6) \rightarrow (5, 3)$ prend la valeur 0) Donc on n'a pas de sous tours et le noeud $(6, 6)$ n'est pas marqué comme visité ($y_6 = 0$). D'ailleurs, on peut vérifier ça aussi en observant que le chemin maintenant est plus long que dans la figure 1.1 vu qu'on doit visiter encore un noeud pour vérifier la contrainte $\sum_{i=1}^n y_i \geq A_{min}$. Dans ces deux, on ne visite que 4 noeuds.

- Contraintes de *début* et de *fin* du trajet : $\sum_{j=1}^n x_{fj} = 0$ et $\sum_{j=1}^n x_{jd} = 0$. A l'aide des contraintes mentionnées ci-dessus, on garantit avec ces équations là d'avoir aucun arc qui sort de f ni un arc qui entre en d ce qui définit le début et la fin.
- Les contraintes $x_{ii} = 0$ étaient mises pour éliminer les cas on prend des noeuds isolés, mais ceci est garanti grâce à la contrainte : $u_j \geq u_i + 1 - n(1 - x_{ij})$, en prenant $x_{ii} = 1$, on obtient $u_i \geq u_i + 1$.
- Les initialisations : $y_d = 1$ et $u_d = 0$

1.2 Formulation exponentielle

La formulation exponentielle donnée ici ne diffère de la formulation polynomiale qu'au niveau de l'expression de la contrainte d'absence des cycles. Le problème est donné par :

$$(P_{\text{sous-tours}}) : \begin{cases} \min \sum_{(i,j) \in \mathcal{A}} d_{ij} x_{ij} \\ \sum_{i=1}^n y_i \geq A_{\min} \\ x_{ii} = 0 & \forall i \in \llbracket 1, n \rrbracket \\ d_{ij} x_{ij} \leq R \\ \sum_j x_{ij} = y_i & \forall i \in \mathcal{V} \setminus \{f\} \\ y_d = 1 \\ \sum_{j=1}^n x_{fj} = 0 \\ \sum_{j=1}^n x_{jd} = 0 \\ y_j = \sum_{i=1}^n x_{ij} & \forall j \in \mathcal{V} \setminus \{d\} \\ \sum_{k \in \mathcal{R}_j} y_k \geq 1 & \forall j \in \llbracket 1, Nr \rrbracket \\ \sum_{(i,j) \in E(S)} x_{ij} \leq |S| - 1 & \forall S \subset \mathcal{V}, 2 \leq |S| \leq n - 2 \\ x_{ij} \in \{0, 1\}, y_i \in \{0, 1\} & \forall i, j \in \mathcal{V} \end{cases}$$

Le nombre exponentiel des contraintes provient du nombre $|\mathcal{S}|$ des ensembles à explorer afin de garantir l'absence des sous-tours qui de l'ordre de 2^n . En réalité l'énumération de tous les ensembles est une méthode assez lente.

Ce qu'on fait c'est qu'on déroule un algorithme qui cherche une solution inadmissible en se restreignant à un sous ensemble \mathcal{I} et en ajoutant de proche en proche les contraintes des sous-tours. Les étapes de l'algorithme sont les suivants :

1. Initialisation : $\mathcal{I} = \emptyset$,
2. Résoudre le problème $P_{\mathcal{I}} \rightarrow \tilde{x}$,
 - (a) si la solution \tilde{x} n'est pas réalisable : On résout le problème de séparation $SEP \rightarrow \tilde{S}$,
 - i. Si \tilde{S} est trouvé :
 - $\mathcal{I} \leftarrow \mathcal{I} + \tilde{S}$,
 - retour à 2.
 - ii. sinon : arrêt
 - (b) sinon : arrêt.

Le problème $P_{\mathcal{I}}$ est donné par :

$$(P_{\mathcal{I}}) : \begin{cases} \min \sum_{(i,j) \in \mathcal{A}} d_{ij} x_{ij} \\ \sum_{i=1}^n y_i \geq A_{min} \\ x_{ii} = 0 & \forall i \in \llbracket 1, n \rrbracket \\ d_{ij} x_{ij} \leq R \\ \sum_j x_{ij} = y_i & \forall i \in \mathcal{V} \setminus \{f\} \\ y_d = 1 \\ \sum_{j=1}^n x_{fj} = 0 \\ \sum_{j=1}^n x_{jd} = 0 \\ y_j = \sum_{i=1}^n x_{ij} & \forall j \in \mathcal{V} \setminus \{d\} \\ \sum_{k \in \mathcal{R}_j} y_k \geq 1 & \forall j \in \llbracket 1, Nr \rrbracket \\ \sum_{(i,j) \in E(S)} x_{ij} \leq |S| - 1 & \forall S \subset \mathcal{I} \\ x_{ij} \in \{0, 1\}, y_i \in \{0, 1\} & \forall i, j \in \mathcal{V} \end{cases}$$

Le problème de séparation SEP , consiste à chercher un ensemble \tilde{S} , telle que l'inégalité associée à \tilde{S} soit violée par \tilde{x} , c-à-d ($\sum_{(i,j) \in E(\tilde{S})} \tilde{x}_{ij} > |\tilde{S}| - 1$). Pour cela on cherche à maximiser l'écart ($\sum_{(i,j) \in E(\tilde{S})} \tilde{x}_{ij} - |\tilde{S}| + 1$).

Le problème de séparation SEP est un problème quadratique donné par :

$$(SEP) : \begin{cases} \max \sum_{(i,j) \in E(S)} a_i a_j \tilde{x}_{ij} - (\sum_{i=1}^n a_i - 1) \\ \sum_{i=1}^n a_i \geq 2 \\ a_i \in \{0, 1\} & \forall i \in \llbracket 1, n \rrbracket \end{cases}$$

L'algorithme que nous avons déroulé en Julia est donné par :

- Définir le problème maître : `model=Model(Gurobi.Optimizer)`,
- Déclarer les variables du problème maître,
- Définir l'objectif du model,
- Ajouter toutes les contraintes sauf celle des sous-tours,
- Résoudre le problème model : `JuMP.optimize!(model)`,
- fixer un nombre maximal d'itérations : `max_iter=999`,
- `nb_iter=1`,
- `isOptim=false` : `=true` lorsqu'on trouve une solution réalisable du ($P_{\text{sous-tours}}$),
- Tant que (`!(isOptim)` et (`nb_iter <= max_iter`))
 1. `nb_iter ← nb_iter+1`,
 2. Définir le problème SEP : `sep=Model(Gurobi.Optimizer)`,
 3. Déclarer les variables du problème SEP,
 4. Définir l'objectif du sep,
 5. Résoudre le problème sep : `JuMP.optimize!(sep)`
 6. Si on a (`JuMP.objective_value(sep)>0`), c'est à dire qu'on a trouvé un ensemble \tilde{S} tel que \tilde{x} viole la contrainte des sous-tours,
 - on ajoute la contrainte des sous-tours restreinte à l'ensemble \tilde{S} au modèle `model`,

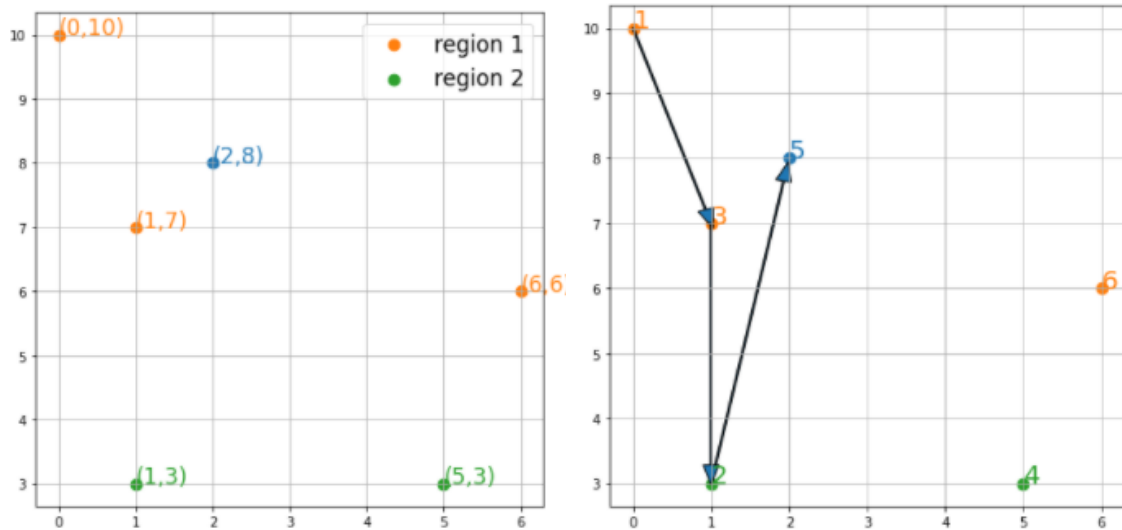
- On résout de nouveau model : `JuMP.optimize!(model)`.
- 7. sinon : `isOptim=true` : On a trouvé une solution réalisable pour (P_sous-tours).

Chapitre 2

Cas tests

Dans cette partie, on essaie de résoudre le problème sous différentes configurations d'instances.

2.0.1 Instance n=6



(a) La répartition des aérodrômes.

(b) La solution réalisable.

FIGURE 2.1 – Cas test avec $n=6$.

```

Explored 1 nodes (21 simplex iterations) in 0.07 seconds
Thread count was 12 (of 12 available processors)

Solution count 2: 12 13

Optimal solution found (tolerance 1.00e-04)
Best objective 1.20000000000e+01, best bound 1.20000000000e+01, gap 0.0000%

User-callback calls 84, time in user-callback 0.00 sec
Objective value: 12.0

```

FIGURE 2.2 – Résolution avec la formulation polynomiale

```

Explored 1 nodes (3 simplex iterations) in 0.06 seconds
Thread count was 12 (of 12 available processors)

Solution count 2: -0 -2
No other solutions better than -0

Optimal solution found (tolerance 1.00e-04)
Best objective -0.00000000000e+00, best bound -0.00000000000e+00, gap 0.0000%

User-callback calls 54, time in user-callback 0.00 sec
Objective value: 12.0

```

FIGURE 2.3 – Résolution avec la formulation exponentielle.

```

Explored 1 nodes (20 simplex iterations) in 0.00 seconds
Thread count was 12 (of 12 available processors)

Solution count 5: 12 13 15 ... 18

Optimal solution found (tolerance 1.00e-04)
Best objective 1.20000000000e+01, best bound 1.20000000000e+01, gap 0.0000%

User-callback calls 76, time in user-callback 0.00 sec
Objective value: 12.0
1 3
2 5
3 2

```

FIGURE 2.4 – Résolution avec la formulation exponentielle sans séparation.

2.0.2 Instance n=20

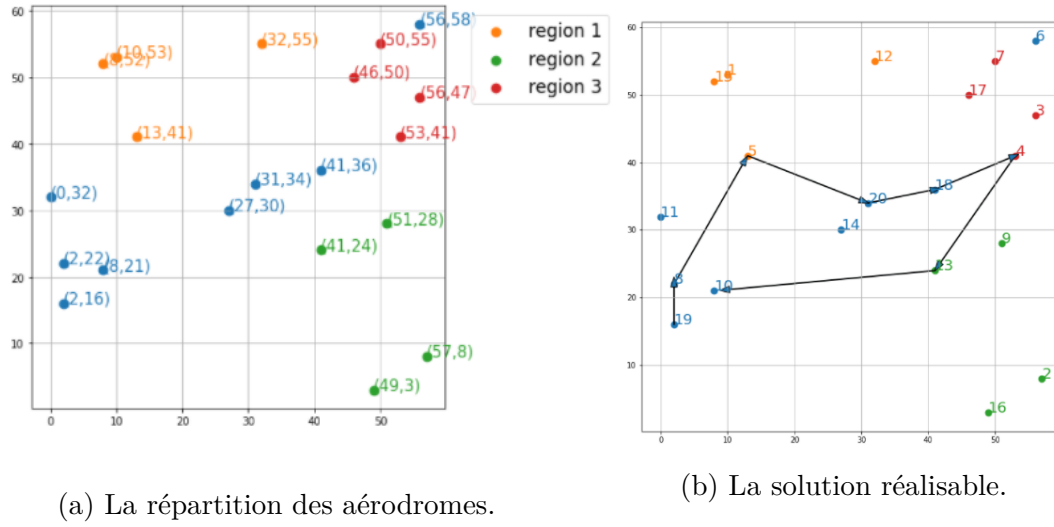


FIGURE 2.5 – Cas test avec n=20.

```

Explored 92864 nodes (669364 simplex iterations) in 11.02 seconds
Thread count was 12 (of 12 available processors)

Solution count 10: 122 123 124 ... 194

Optimal solution found (tolerance 1.00e-04)
Best objective 1.220000000000e+02, best bound 1.220000000000e+02, gap 0.0000%

User-callback calls 188236, time in user-callback 0.05 sec
Objective value: 122.0

```

FIGURE 2.6 – Résolution avec la formulation polynomiale

2.0.3 Instance n=40

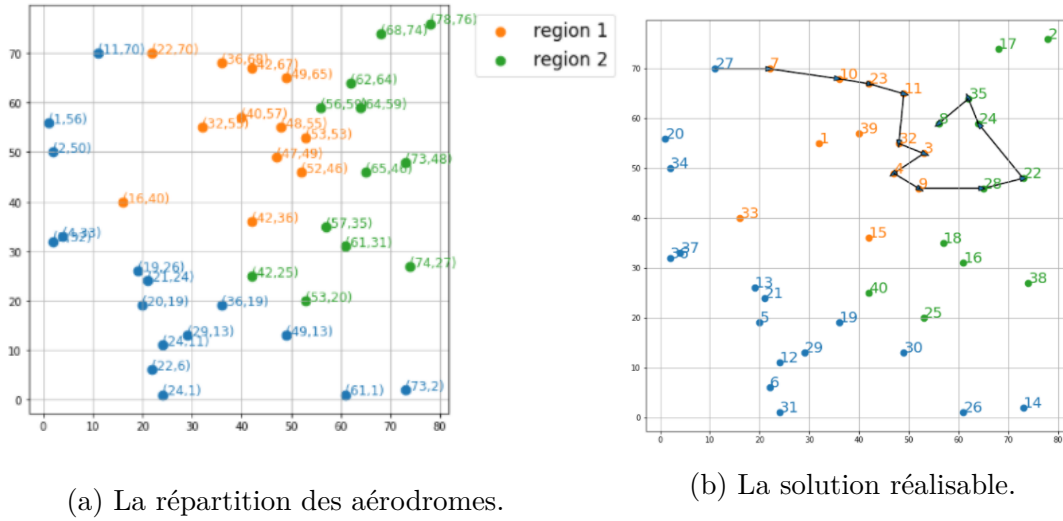


FIGURE 2.7 – Cas test avec n=40.

```

Explored 6314 nodes (58113 simplex iterations) in 1.42 seconds
Thread count was 12 (of 12 available processors)

Solution count 10: 112 113 116 ... 165

Optimal solution found (tolerance 1.00e-04)
Best objective 1.120000000000e+02, best bound 1.120000000000e+02, gap 0.0000%

User-callback calls 13038, time in user-callback 0.00 sec
Objective value: 112.0

```

FIGURE 2.8 – Résolution avec la formulation polynomiale

```

Explored 1 nodes (6 simplex iterations) in 0.00 seconds
Thread count was 12 (of 12 available processors)

Solution count 2: -0 -26
No other solutions better than -0

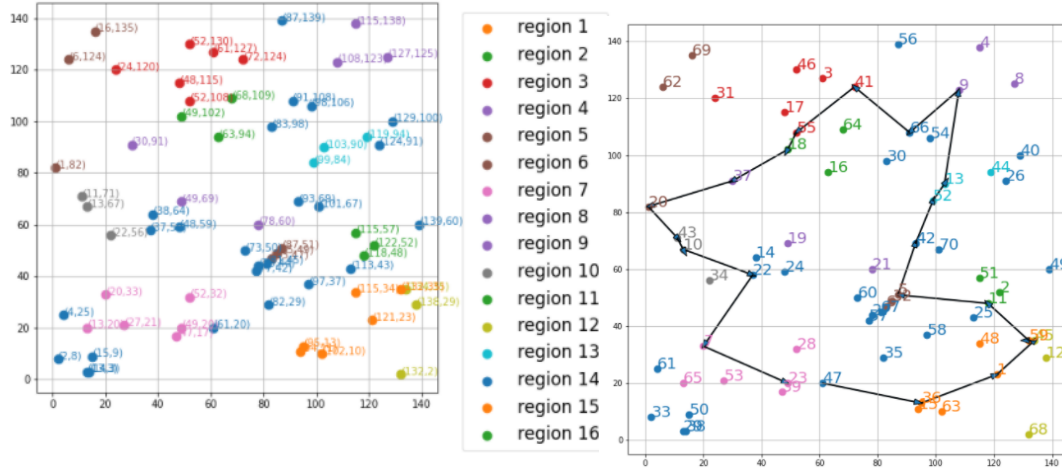
Optimal solution found (tolerance 1.00e-04)
Best objective -0.000000000000e+00, best bound -0.000000000000e+00, gap 0.0000%

User-callback calls 51, time in user-callback 0.00 sec
Objective value: 112.0

```

FIGURE 2.9 – Résolution avec la formulation exponentielle.

2.0.4 Instance n=70



(a) La répartition des aéroports.

(b) La solution réalisable.

FIGURE 2.10 – Cas test avec n=70.

```

Explored 685128 nodes (24659163 simplex iterations) in 543.08 seconds
Thread count was 12 (of 12 available processors)

Solution count 10: 436 438 439 ... 453

Optimal solution found (tolerance 1.00e-04)
Best objective 4.360000000000e+02, best bound 4.360000000000e+02, gap 0.0000%

User-callback calls 1411490, time in user-callback 0.54 sec
Objective value: 436.0

```

FIGURE 2.11 – Résolution avec la formulation polynomiale

Conclusion

Les deux formulations polynomiale et exponentielle sont équivalents pour notre problème. Avec un nombre n assez petit on ne voit pas trop une différence du temps de calcul. En augmentant le nombre n , on s'aperçoit que la résolution avec la formulation polynomiale est plus rapide que la formulation exponentielle en nombre de contraintes.